# From Circle Placements to Rectangle Placements

Nonlinear Optimization in Electronic Design Automation

Disputationsvortrag

**Uwe Nowak** 

Kaiserslautern, 28. Oktober 2011





# From Circle Placements to Rectangle Placements

- Motivation Optimierung von System-in-Package
- Algorithmische Idee der Rounded Rectangle Algorithmus
- Algorithmische Teilprobleme des Rounded Rectangle Algorithmus
  - Kreis-Rotationsproblem
  - Kreis-Platzierungsproblem
  - Rechteck-Platzierungsproblem
- Fazit in der Dissertation erreichte Ziele





## Übersicht

- Motivation Optimierung von System-in-Package
- Algorithmische Idee der Rounded Rectangle Algorithmus
- Algorithmische Teilprobleme des Rounded Rectangle Algorithmus
  - Kreis-Rotationsproblem
  - Kreis-Platzierungsproblem
  - Rechteck-Platzierungsproblem
- Fazit in der Dissertation erreichte Ziele





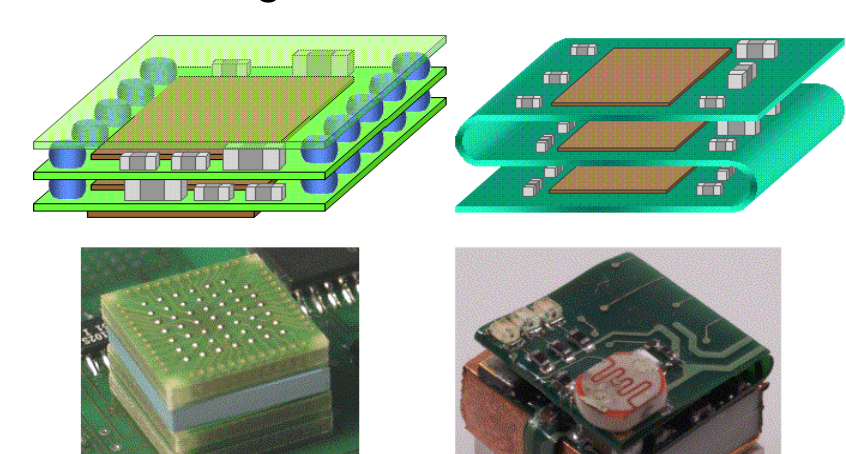
# Praktische Problemstellung: System-in-Package

#### Elektronische Schaltung

- Heterogene Bauteile unterschiedlicher Größenordnung
- Bis zu 250 Bauteile pro Modulseite
- Bauteilverbindung durch Netze

#### Platzierungsproblem

- Nichtüberlappung
- Kleine Fläche
- Kurze Verdrahtungslänge



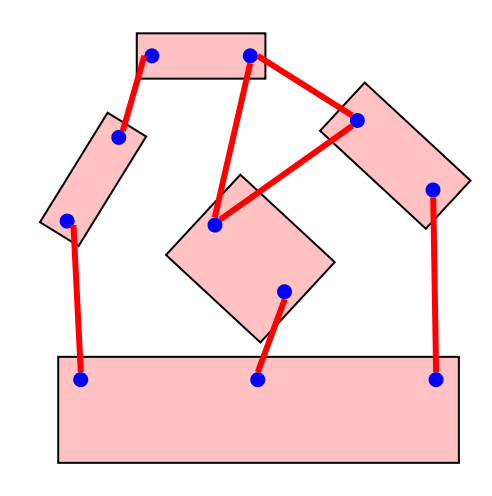




## Platzierungsproblem

#### Gegeben

- Rechtecke mit festen Größen
- Pins mit festen Positionen am Rechteck
- Netze mit festen Gewichten



#### Gesucht

- Platzierung und (orthogonale) Rotation der Rechtecke
  - Nichtüberlappung
  - Minimale Verdrahtungslänge





#### **Existierende Ansätze**

- Mixed-Integer Programming
- Constraint Programming
  - Nicht exakt lösbar für größere Probleminstanzen
  - Untersucht u. A. in Dissertation von Martin Berger
- Meta-Heuristiken
  - Lokale Problemsicht
  - Schlechte Verdrahtungslänge
- Nichtlineare Verfahren (im VLSI-Design)
  - Millionen homogene Bauteile
  - Heuristische Nichtüberlappung
  - Keine Rotation





## Übersicht

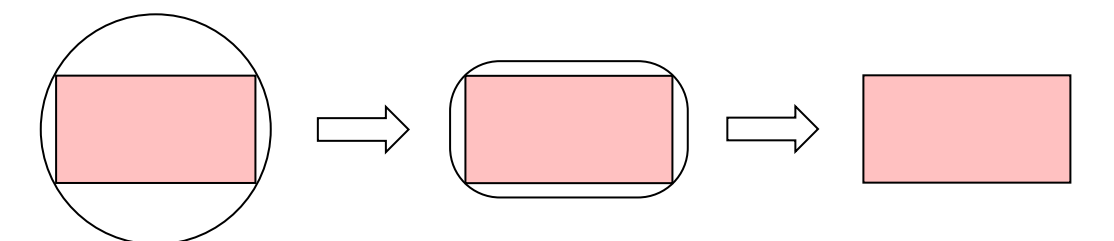
- Motivation Optimierung von System-in-Package
- Algorithmische Idee der Rounded Rectangle Algorithmus
- Algorithmische Teilprobleme des Rounded Rectangle Algorithmus
  - Kreis-Rotationsproblem
  - Kreis-Platzierungsproblem
  - Rechteck-Platzierungsproblem
- Fazit in der Dissertation erreichte Ziele



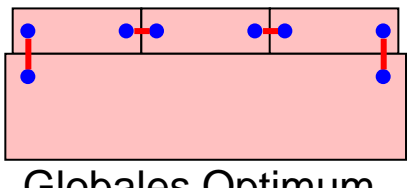


## **Rounded Rectangle Algorithmus**

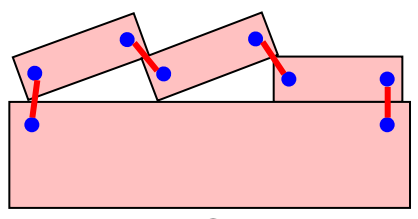
- Rechtecke können "verkanten"
- Idee: Abstrahiere Bauteile als Kreise
  - Ausreichend für Vorplatzierung
  - Weniger lokale Optima
- Verforme Bauteile stetig von Kreisen zu Rechtecken



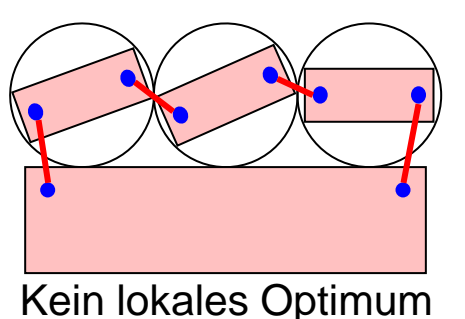




Globales Optimum



**Lokales Optimum** 







## Übersicht

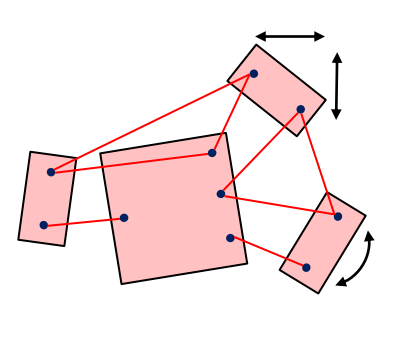
- Motivation Optimierung von System-in-Package
- Algorithmische Idee der Rounded Rectangle Algorithmus
- Algorithmische Teilprobleme des Rounded Rectangle Algorithmus
  - Kreis-Rotationsproblem
  - Kreis-Platzierungsproblem
  - Rechteck-Platzierungsproblem
- Fazit in der Dissertation erreichte Ziele

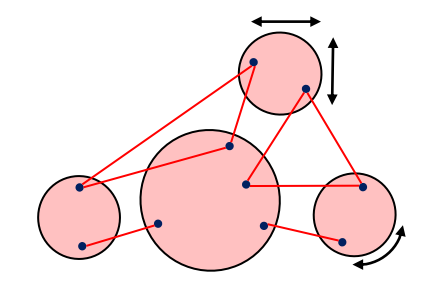


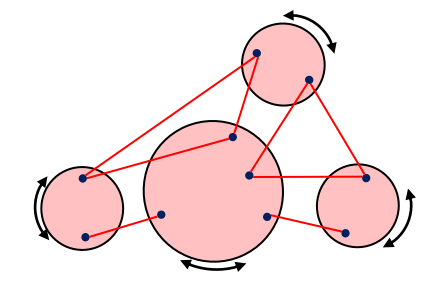


# Algorithmische Teilprobleme

Rechteck-Platzierungsproblem (Rounded Rectangle Algorithmus) Kreis-Platzierungsproblem Kreis-Rotationsproblem





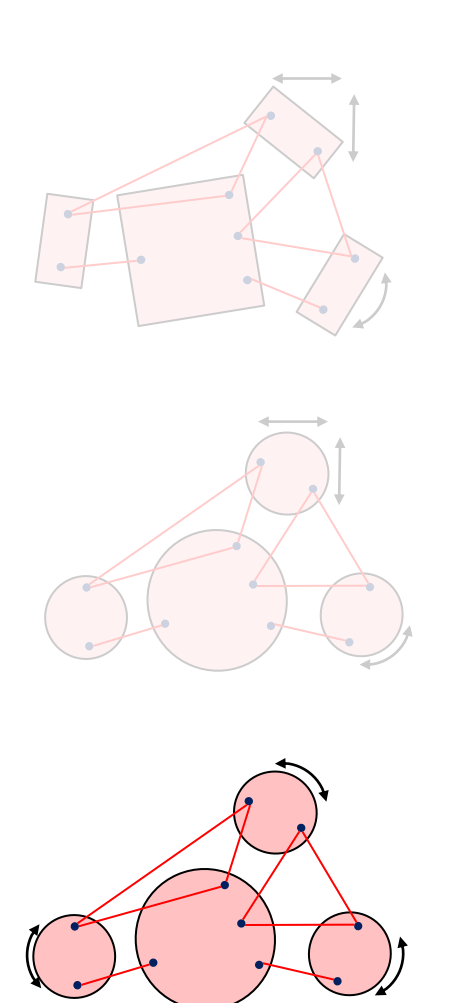






# Algorithmische Teilprobleme

Rechteck-Platzierungsproblem (Rounded Rectangle Algorithmus) Kreis-Platzierungsproblem Kreis-Rotationsproblem







## **Kreis-Rotation: Problemstellung**

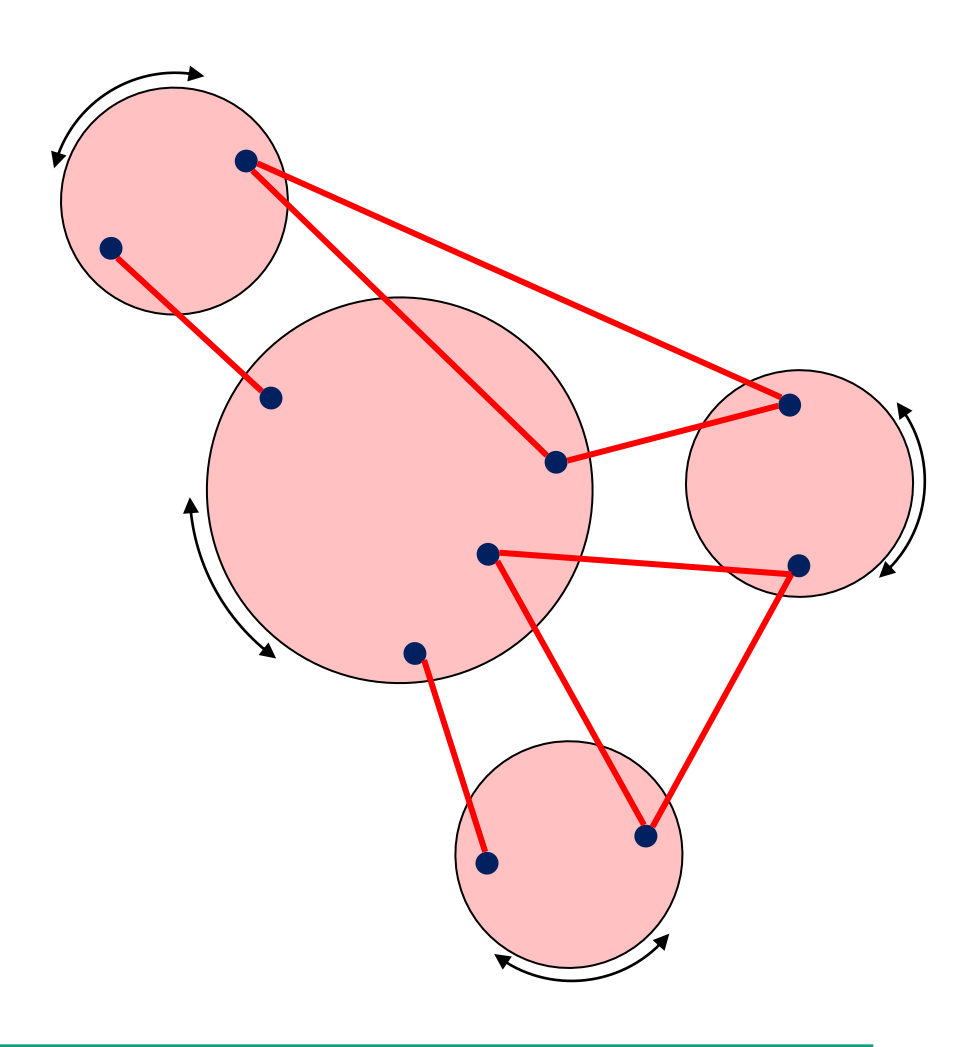
#### Gegeben

- lacksquare Kreise mit festen Positionen  $\mathbf{c} \in \mathbb{C}^n$
- Pins mit festen Positionen am Kreis
- Netze mit festen Gewichten

#### Gesucht

■ Kreisrotationen  $\mathbf{z} \in \mathbb{C}^n$ ,  $|z_i| = 1$  mit minimaler Verdrahtungslänge

Es gibt nicht-globale lokale Minima

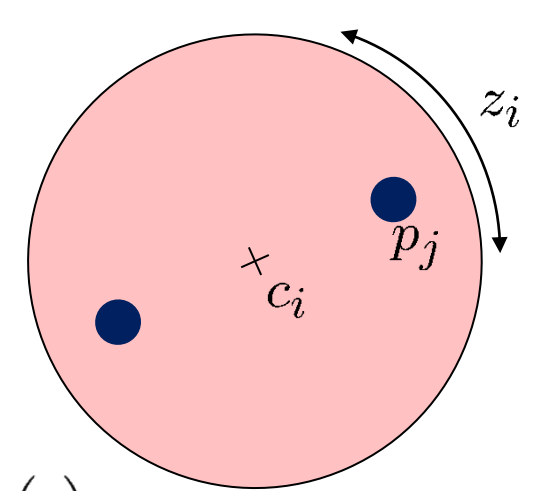






# **Kreis-Rotationsproblem**

Absolute Pin-Positionen  $q_j = c_i + p_j z_i$  $\mathbf{q} = \Phi \mathbf{c} + P \Phi \mathbf{z} \in \mathbb{C}^m$ 



Die Verdrahtungslänge ist

$$\begin{split} wl &= \mathbf{q}^H Q \mathbf{q} = \left(\mathbf{z}^H \ \mathbf{c}^H\right) \begin{pmatrix} \mathbf{\Phi}^T P Q P \mathbf{\Phi} & \mathbf{\Phi}^T P Q \mathbf{\Phi} \\ \mathbf{\Phi}^T Q P \mathbf{\Phi} & \mathbf{\Phi}^T Q \mathbf{\Phi} \end{pmatrix} \begin{pmatrix} \mathbf{z} \\ \mathbf{c} \end{pmatrix} \\ &= \left(\mathbf{z}^H \ \mathbf{1}\right) \begin{pmatrix} A & \mathbf{b} \\ \mathbf{b}^H & d \end{pmatrix} \begin{pmatrix} \mathbf{z} \\ \mathbf{1} \end{pmatrix} \longleftarrow \text{ hermitesch, positiv semidefinit} \end{split}$$

Problem: Kreisrotationsproblem (CR):

min 
$$(\mathbf{z}^H \ \mathbf{1}) \begin{pmatrix} A & \mathbf{b} \\ \mathbf{b}^H & d \end{pmatrix} \begin{pmatrix} \mathbf{z} \\ \mathbf{1} \end{pmatrix}$$
  
s.t.  $|z_i| = 1, \ i = 1, \dots, n$ 





## Hermitesches Minimierungsproblem

■ Hermitesches Minimierungsproblem (HM):  $Q \in \mathbb{C}^{n \times n}$  hermitesch, pos. semidef.

min 
$$\mathbf{w}^H Q \mathbf{w}$$

s.t. 
$$|w_i| = 1$$

Literatur [Zhang; Huang; 2006]: HM ist NP-schwer.

**Satz**: CR(n) ist darstellbar als HM(n+1).

**Satz**: HM(n) ist darstellbar als CR(n) bis auf eine additive Konstante.

Korollar: CR ist NP-schwer.





## Lokale Optimierungsverfahren für HM

#### Finden lokaler Minima

- Restringiertes NLP min  $\mathbf{z}^H Q \mathbf{z}$ , s.t.  $|z_i| = 1$
- lacksquare Nichtrestringierte Optimierung nach Substitution  $z_i = \exp{\imath arphi_i}, \ arphi_i \in \mathbb{R}$
- Block-Koordinaten-Abstiegsmethode (BCD)
  - $\blacksquare$  Löse iterativ für  $k=1,\ldots,n$   $z_k':=\mathrm{argmin}_{z_k}\ \mathbf{z}^HQ\mathbf{z},\quad \text{s.t. } |z_k|=1$
  - Sehr schnell (wenige Millisekunden für ~1000 Kreise)
- Für viele Problem-Instanzen nur ein Minimum

Gibt es einen effizienten Algorithmus mit Optimalitätsgarantie (bis auf  $\varepsilon$ )?



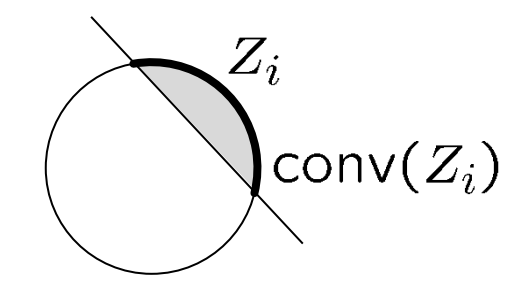


#### Standardansatz: Branch and Bound

- Domains:  $Z = Z_1 \times \cdots \times Z_n$  mit Einheitskreisbögen  $Z_i$
- lacksquare Branching: Zerlegung eines $Z_i$
- Obere Schranke: Lokales Minimum mit BCD
- Untere Schranke: Duale Lösung zu konvexer Relaxierung

min 
$$\mathbf{z}^H Q \mathbf{z}$$

s.t. 
$$z_i \in \mathsf{conv}(Z_i)$$



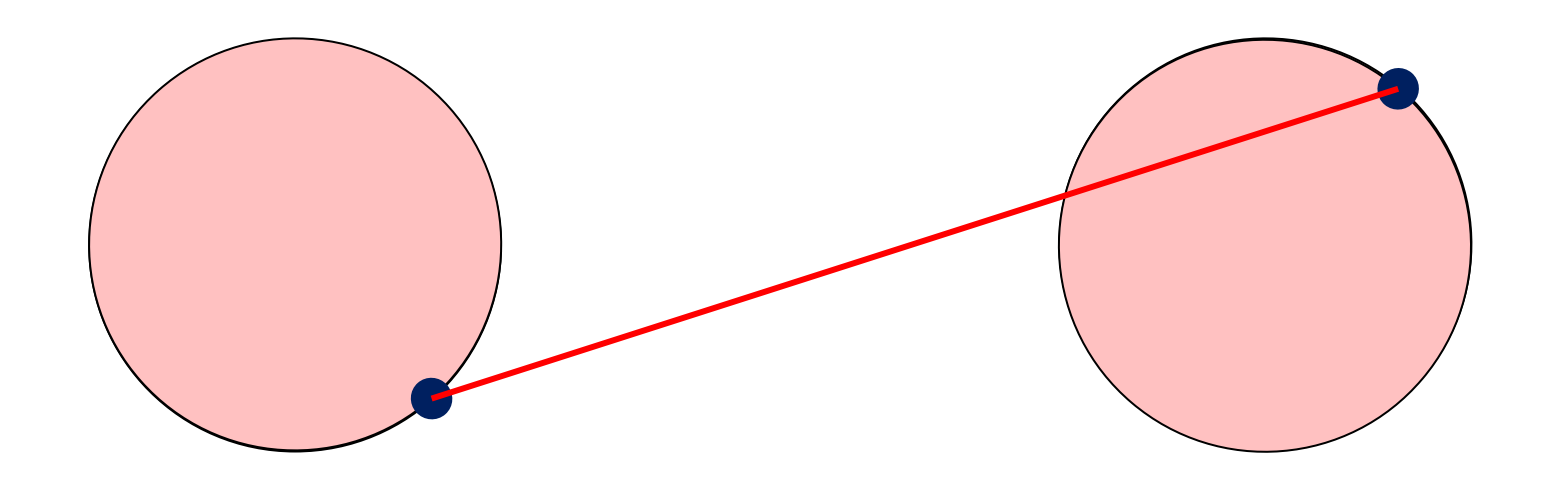
#### Performant möglich mit BCD

**Satz**: Lagrange-Multiplikatoren der BCD-Schritte konvergieren gegen Lagrange-Multiplikatoren des globalen Optimums.





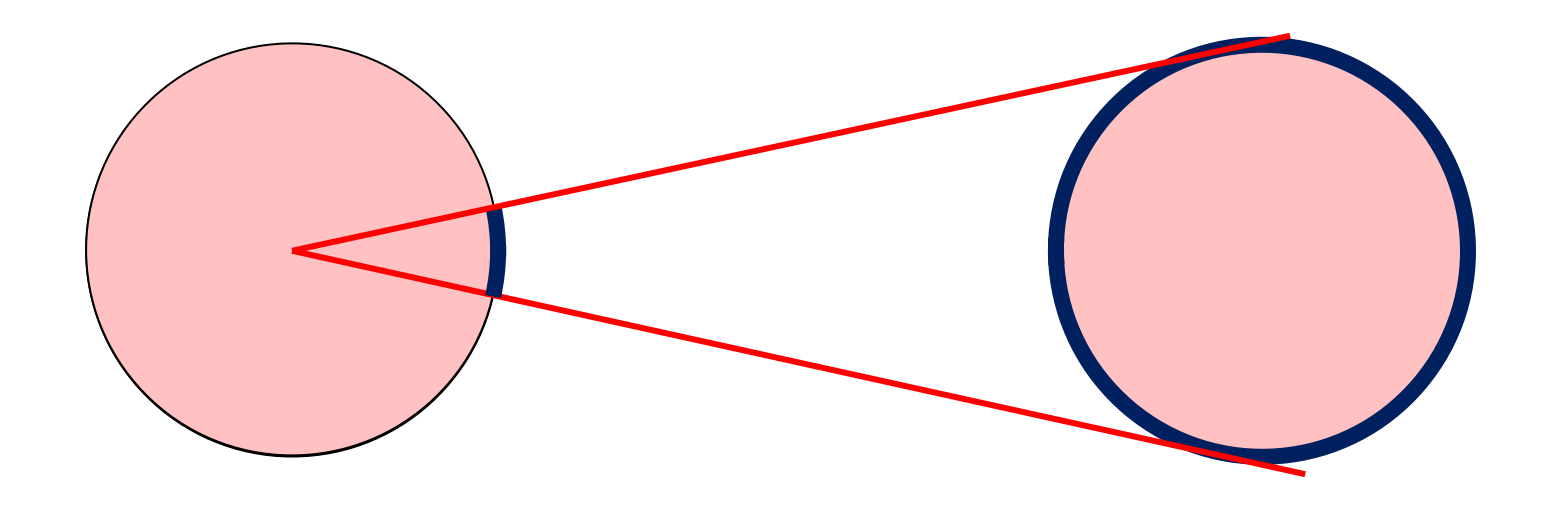
- Untere Schranke konvergiert langsam
- Schärfere Relaxierung verbessert untere Schranke
- Ausschluss von Domainbereichen möglich?







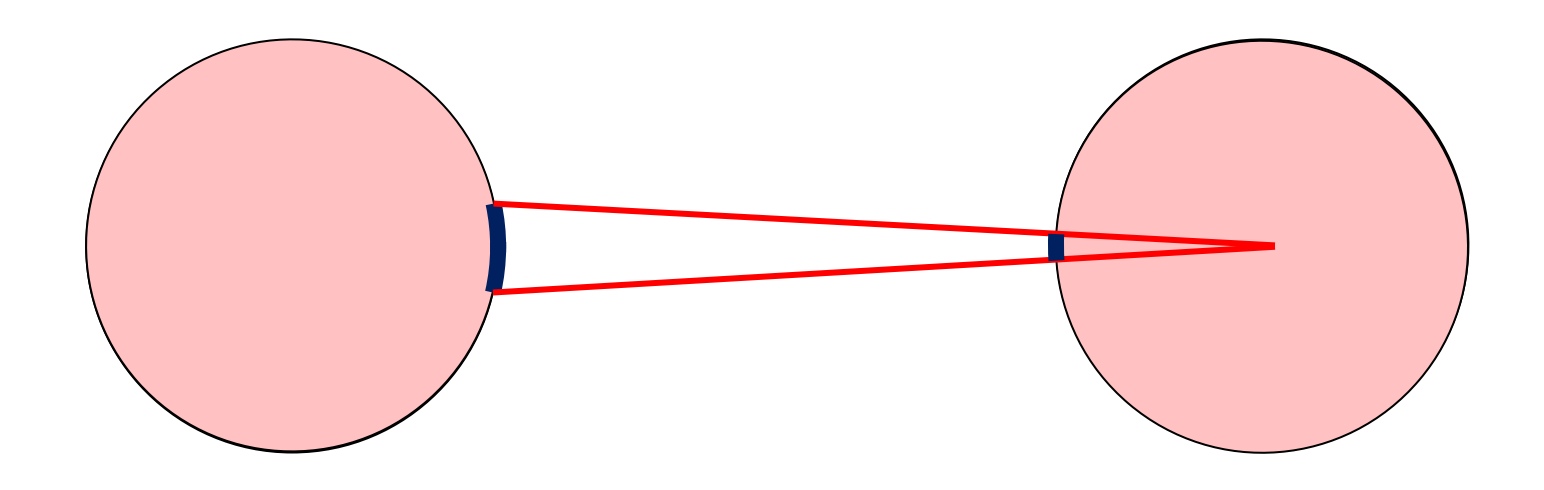
- Untere Schranke konvergiert langsam
- Schärfere Relaxierung verbessert untere Schranke
- Ausschluss von Domainbereichen möglich?







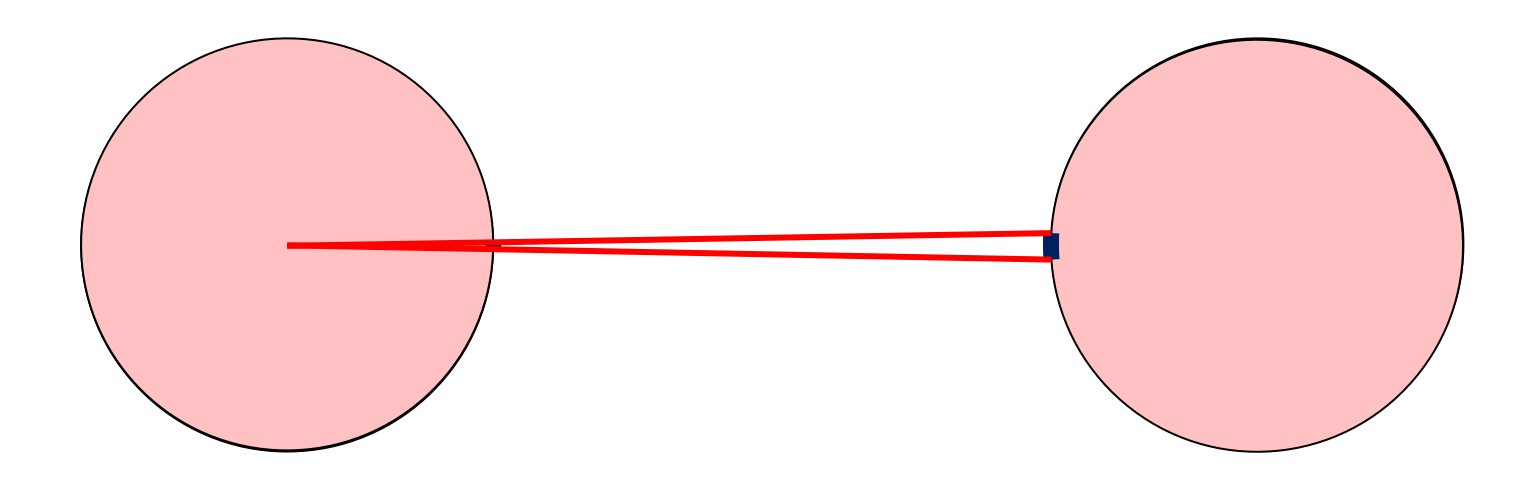
- Untere Schranke konvergiert langsam
- Schärfere Relaxierung verbessert untere Schranke
- Ausschluss von Domainbereichen möglich?







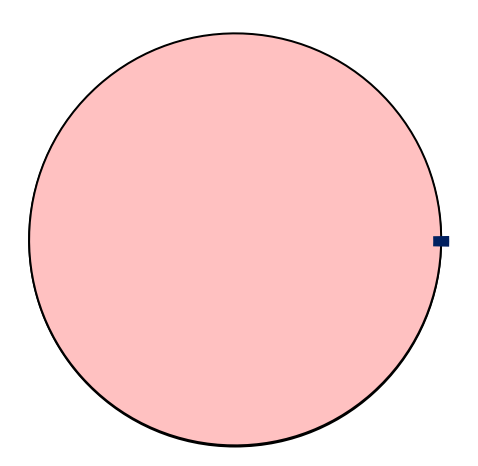
- Untere Schranke konvergiert langsam
- Schärfere Relaxierung verbessert untere Schranke
- Ausschluss von Domainbereichen möglich?

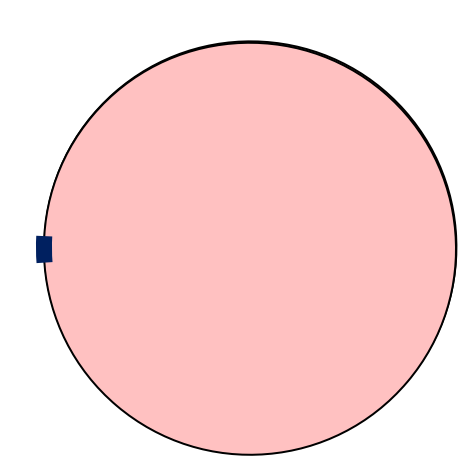






- Untere Schranke konvergiert langsam
- Schärfere Relaxierung verbessert untere Schranke
- Ausschluss von Domainbereichen möglich?









## Domainreduktion für einen Kreis

**Definition**: Die Normierung einer komplexen Zahl  $w \in \mathbb{C}$  ist

$$\mathsf{Normed}[w] = \begin{cases} \left\{ \frac{w}{|w|} \right\} & w \neq 0 \\ \{z : |z| = 1\} & w = 0 \end{cases}$$

**Satz**: Seien  $z_j, \ j \neq k$  fest. Das Minimum von  $\mathbf{z}^H Q \mathbf{z}$  wird angenommen für

$$z_k = -\mathsf{Normed}\left[\sum_{j 
eq k} q_{kj} z_j
ight]$$

**Korollar**: Sei  $\mathbf{z}^* \in \mathbb{C}^n$  ein globales Minimum von  $\mathbf{z}^H Q \mathbf{z}$  und  $z_j^* \in Z_j, \ j \neq k$ . Dann  $z_k^* \in -\text{Normed} \left[ \sum_{i \neq k} q_{kj} Z_j \right]$ 





#### **Domainreduktion**

**Definition**: P ist eine Domainreduktion, wenn für jede Domain Z gilt:  $P(Z) \subseteq Z$  und enthält Z ein globales Optimum, so auch P(Z).

**Lemma**: Mit  $Z = Z_1 \times \cdots \times Z_n$  sind  $P_k$  und P Domainreduktionen:

$$\Gamma_k(Z) := -\mathsf{Normed}\left[\sum_{j \neq k} q_{kj} Z_j\right] \cap Z_k$$

$$P_k(Z) := Z_1 \times \dots \times Z_{k-1} \times \Gamma_k(Z) \times Z_{k+1} \times \dots \times Z_n$$

$$P := P_n \circ \dots \circ P_1$$

Problem:  $\Gamma_k(Z)$  ist nicht einfach berechenbar





## **Domainreduktion**

**Lemma:** Ist P eine Domainreduktion und P' eine Abbildung mit  $P(Z) \subseteq P'(Z) \subseteq Z$ , so ist P' eine Domainreduktion.

**Korollar:** Die folgenden Abbildungen  $P'_k$  und P'sind Domainreduktionen:

$$\begin{split} \Gamma_k'(Z) &:= -\mathsf{Normed} \left[ \sum_{j \neq k} q_{kj} \cdot \mathsf{conv}(Z_j) \right] \cap Z_k \\ P_k'(Z) &:= Z_1 \times \dots \times Z_{k-1} \times \Gamma_k'(Z) \times Z_{k+1} \times \dots \times Z_n \\ P' &:= P_n' \circ \dots \circ P_1' \end{split}$$

- $\sum_{j \neq k} q_{kj} \cdot \text{conv}(Z_j)$  ist die Minkowski-Summe von Kreissegmenten
- Der Öffnungswinkel -Normed  $\left[\sum_{j\neq k}q_{kj}$ conv $(Z_j)\right]$  effizient berechenbar

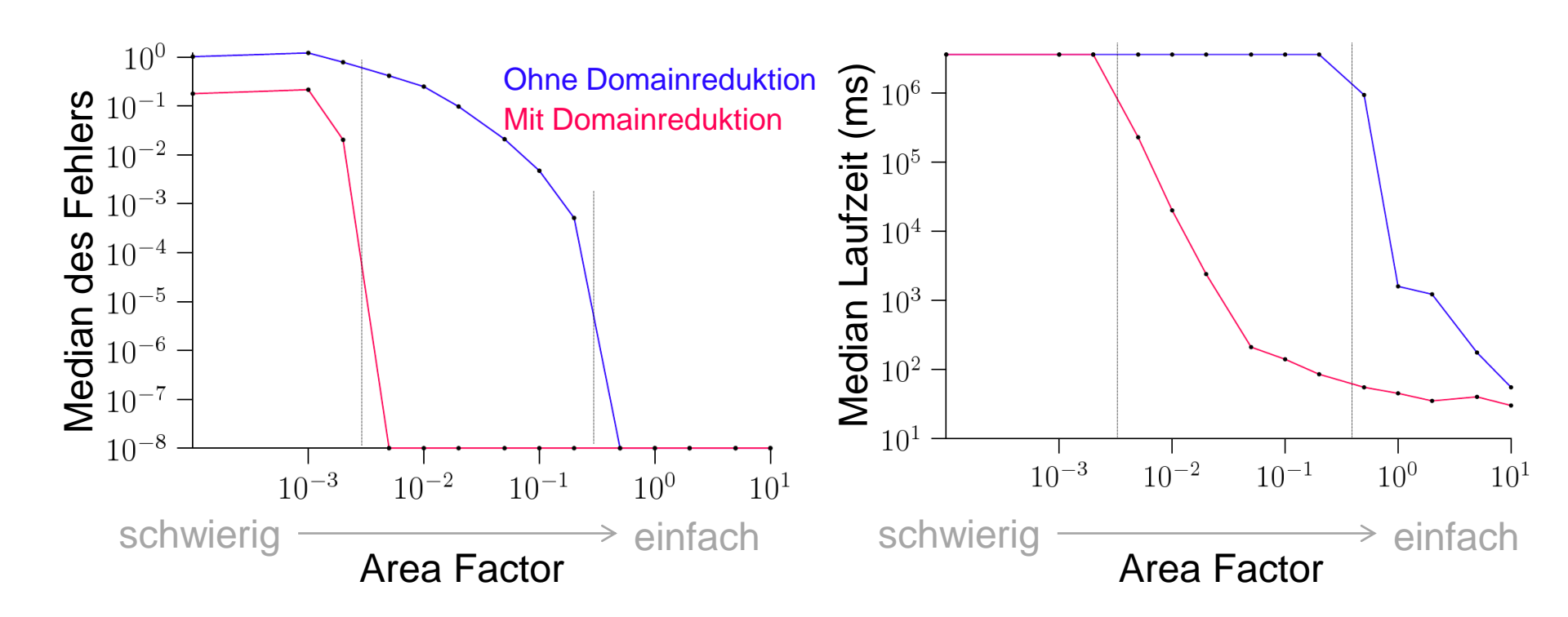




## **Nutzen der Domainreduktion**

Zielvorgabe Fehler  $\varepsilon = 10^{-8}$ 

Max. Laufzeit 1h =  $3.6 ¢ 10^6 ms$ 



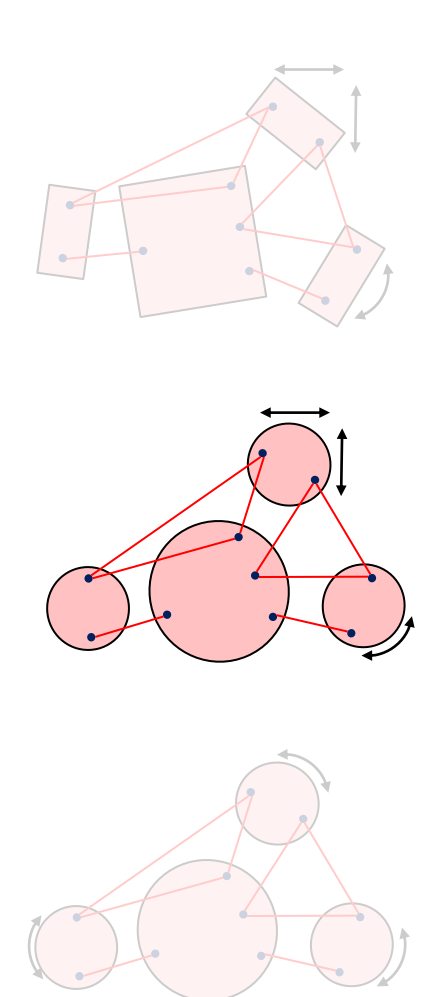
Domainreduktion beschleunigt Branch and Bound um Größenordnungen





# Algorithmische Teilprobleme

Rechteck-Platzierungsproblem (Rounded Rectangle Algorithmus) Kreis-Platzierungsproblem Kreis-Rotationsproblem







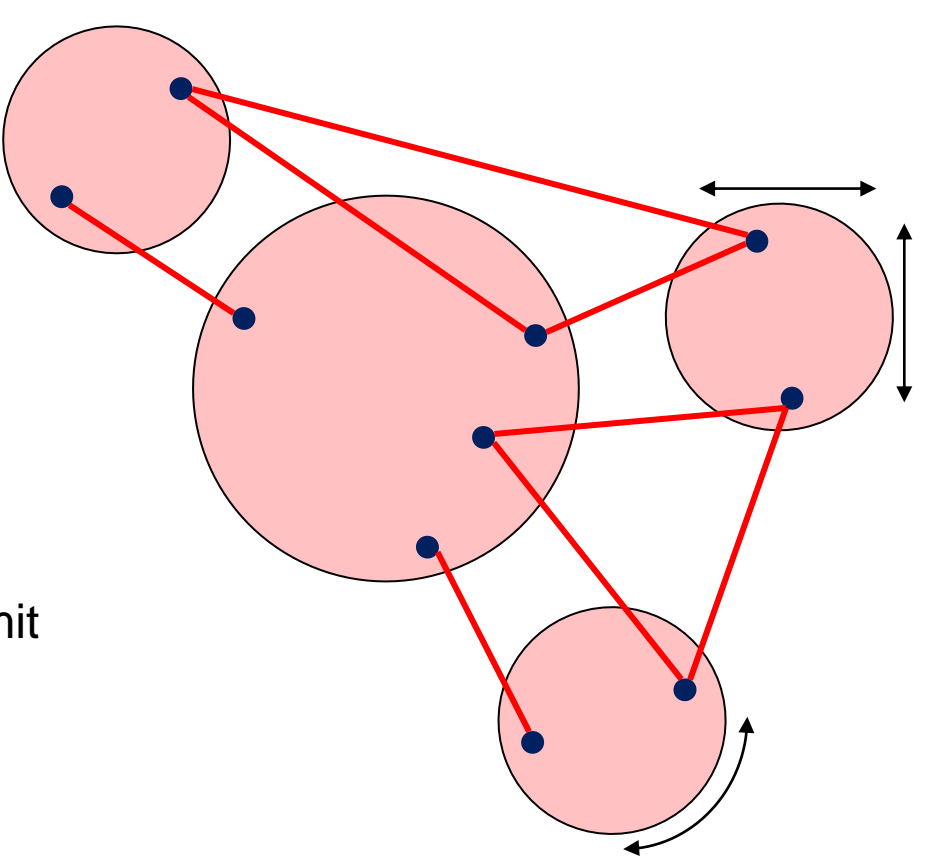
## Kreis-Platzierung: Problemstellung

#### Gegeben

- $\blacksquare$  Kreise mit festem Radius  $r_i$
- Pins mit festen Positionen am Kreis
- Netze mit festen Gewichten

#### Gesucht

- Position c und Rotation z der Kreise mit
  - Nichtüberlappung
  - Minimaler Verdrahtungslänge







## Übersicht

■ Rotation modelliert als Winkel mittels  $z_i = \exp i \varphi_i, \ \varphi_i \in \mathbb{R}$ 

**Problem**: Kreis-Platzierungsproblem (CP):

min 
$$wl(\mathbf{c}, \varphi)$$
  
s.t.  $(r_i + r_j)^2 - |c_i - c_j|^2 \le 0, \quad 1 \le i < j \le n$ 

- Viele lokale Minima
  - Zielfunktion nicht konvex
  - $\blacksquare n(n-1)/2$  konkave Nebenbedingungen





## Kreis-Platzierung: Algorithmische Schritte

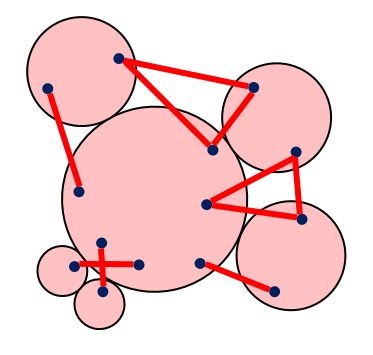
Startlösung

Literatur [Anjos; Vanelli; 2006]: Attractor Repeller Model

**Dissertation:** Skalierungsinvarianz

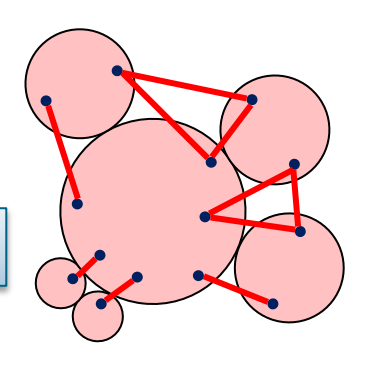
Model

Lokales Optimum



- Heuristische Globalisierungsstrategien
  - Literatur [Addis; Locatelli; 2008]: Monotonic Basin Hopping

Dissertation: MBH basierend auf Kreis-Rotationsproblem





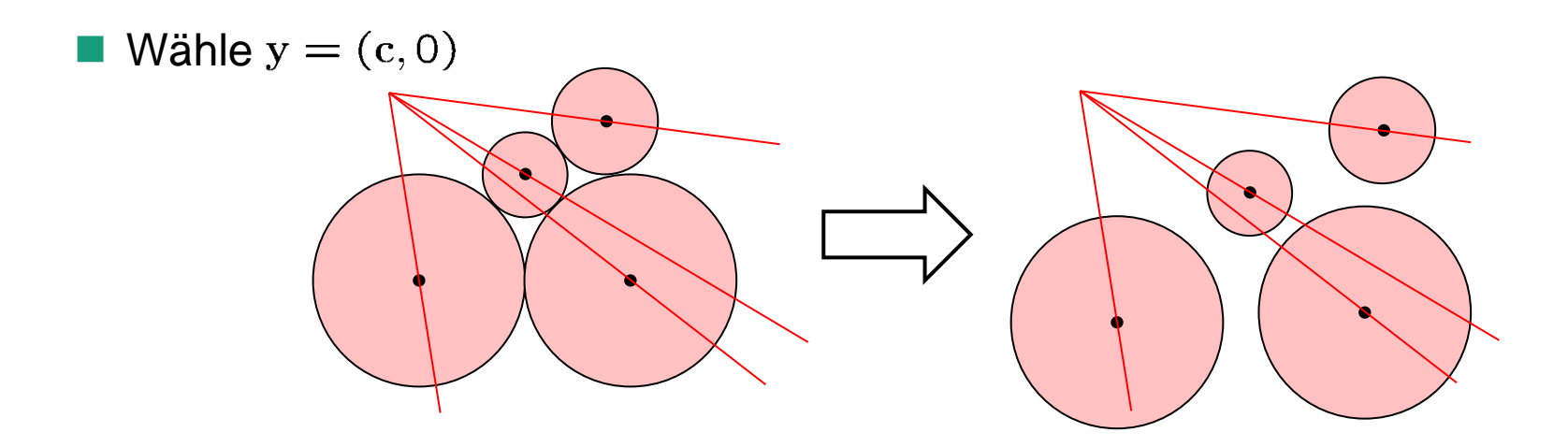


## **Mangasarian Fromovitz Constraint Qualification**

**Satz**: Das Kreis-Platzierungsproblem (CP) erfüllt die Mangasarian Fromovitz Constraint Qualification MFCQ.

#### Beweisidee:

MFCQ bedeutet: Es gibt eine Richtung y, so dass alle aktiven Constraints inaktiv werden.







## **Linear Independence Constraint Qualification**

**Satz**: Das Kreis-Platzierungsproblem (CP) erfüllt die Linear Independence Constraint Qualification LICQ *nicht*.

#### Beweisidee:

- Planarer Graph: Ohne Kantenüberschneidung in der Ebene zu zeichnen.
- Maximal planarer Graph: Jede zusätzliche Kante zerstört Planarität.
- Maximal planarer Graph mit n Knoten hat 3n 6 Kanten

Maximal planarer
Graph mit 8 Knoten



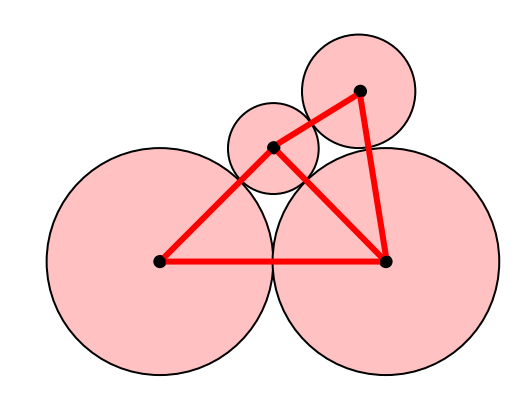


## **Linear Independence Constraint Qualification**

Kontaktgraph einer Kreispackung

Knoten: Kreise

Kanten: Paare berührender Kreise



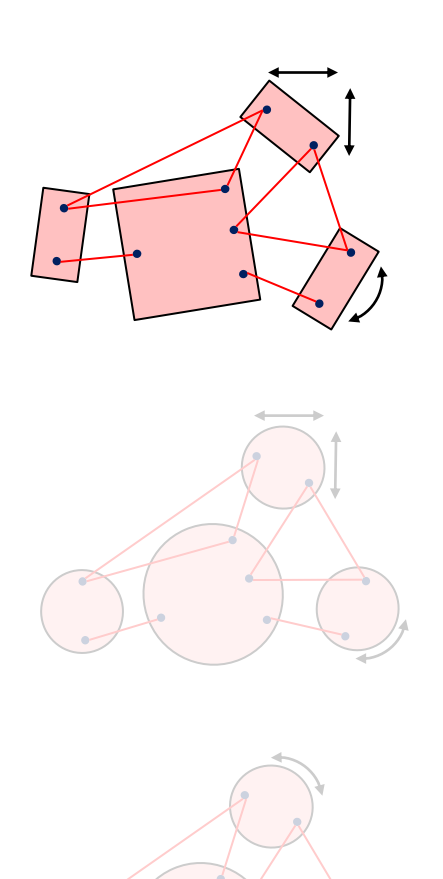
- Koebe-Andreev-Thursten Theorem:
   Zu planaren Graphen existiert Kreispackung mit isomorphem Kontaktgraph
- Kreispackung zu maximal planaren Graph mit n, 7 Knoten:
  - $\blacksquare$  3*n* 6 > 2*n* aktive Constraints
  - Constraint-Gradienten 2n-dimensional
  - Constraint-Anzahl > Dimension ⇒ Lineare Abhängigkeit





# Algorithmische Teilprobleme

Rechteck-Platzierungsproblem (Rounded Rectangle Algorithmus) Kreis-Platzierungsproblem Kreis-Rotationsproblem







## Rechteck-Platzierung: Problemstellung

#### Gegeben

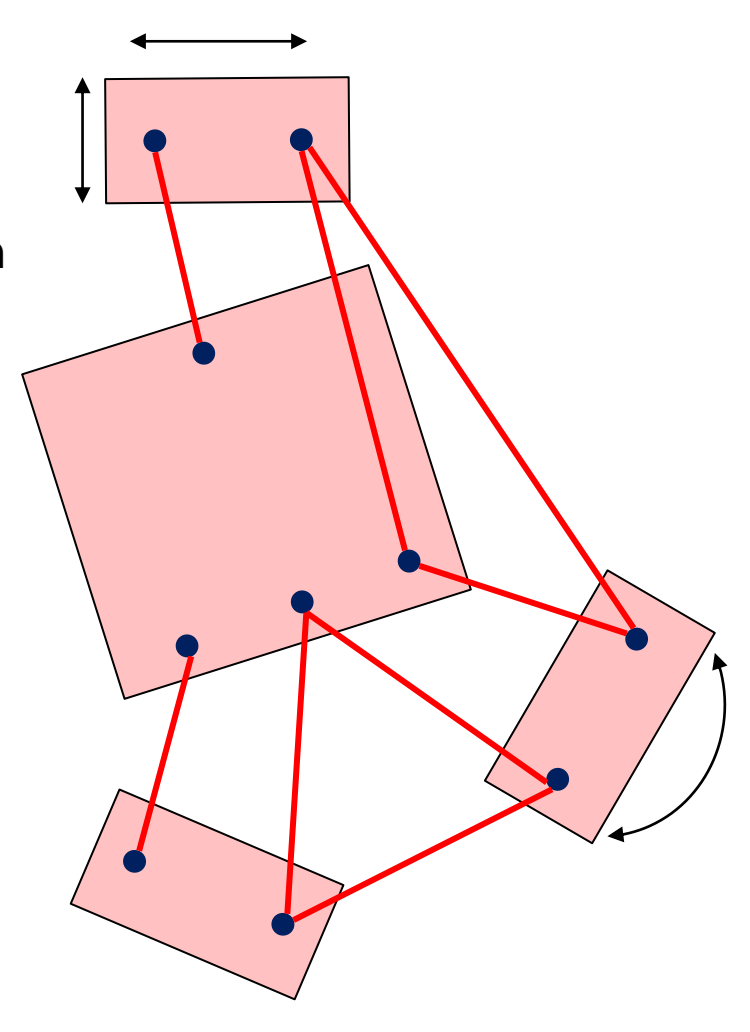
- Rechtecke mit festen Größen
- Pins mit festen Positionen an den Rechtecken
- Netze mit festen Gewichten

#### Gesucht

- Position und (orthogonale) Rotation der Rechtecke mit
  - Nichtüberlappung
  - Minimaler Verdrahtungslänge

#### Lösungsidee

Sequenz von Rounded Rectangle Placement Problemen

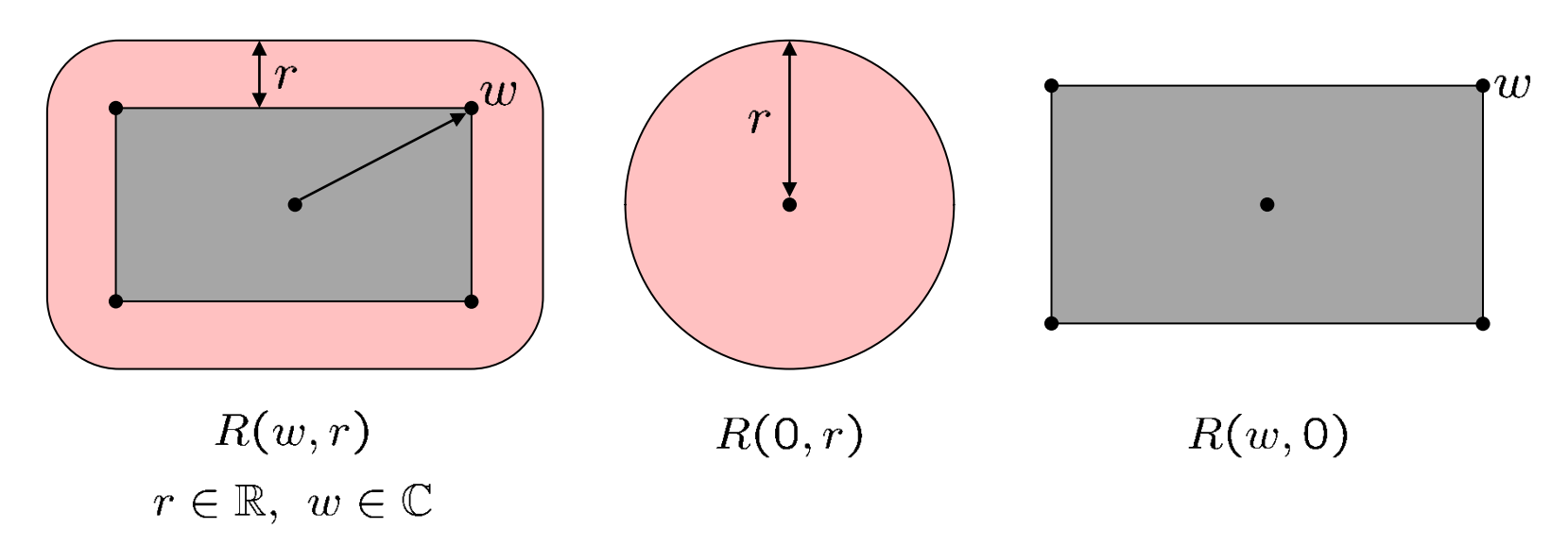






## **Abgerundete Rechtecke**

- Abgerundetes Rechteck (RR)
  - Minkowski-Summe Rechteck + Kreis
  - Kontinuierlicher Übergang von Kreis zu Rechteck



Rounded Rectangle Placement Problem RRPP: Platzierungsproblem für abgerundete Rechtecke  $R(w_i, r_i)$ 

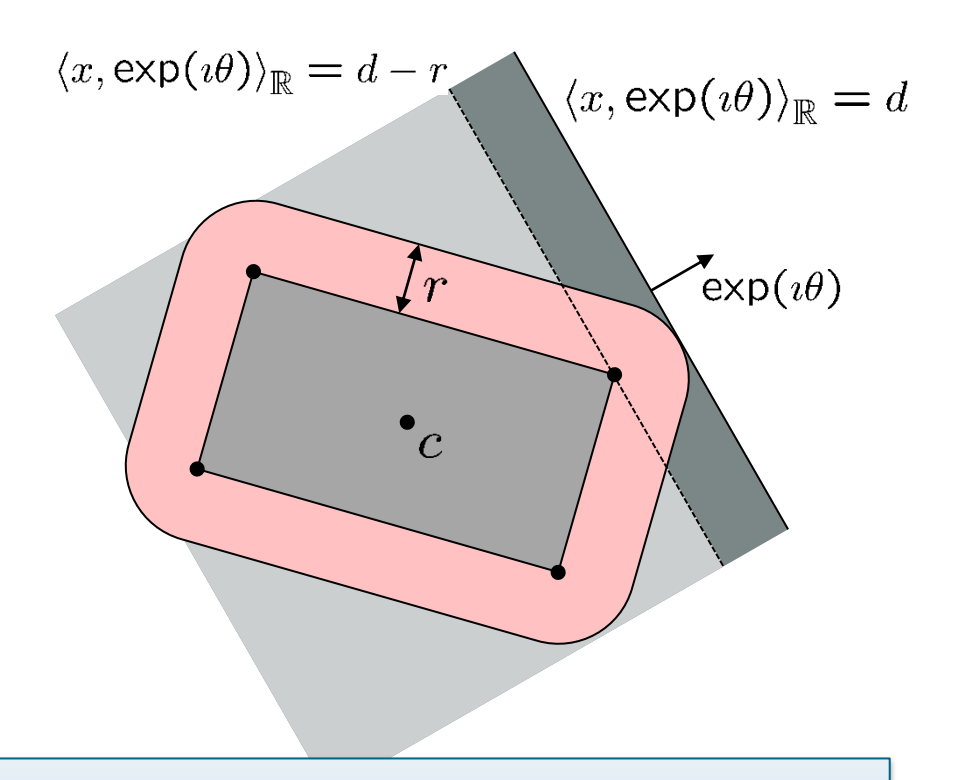




## Nichtüberlappung abgerundeter Rechtecke

- Trennende Hyperebenen
- Eckpunkte des inneren Rechtecks:

$$C(w) := \{w, \overline{w}, -w, -\overline{w}\}$$



**Lemma**: Für das RRR = R(w,r) gilt

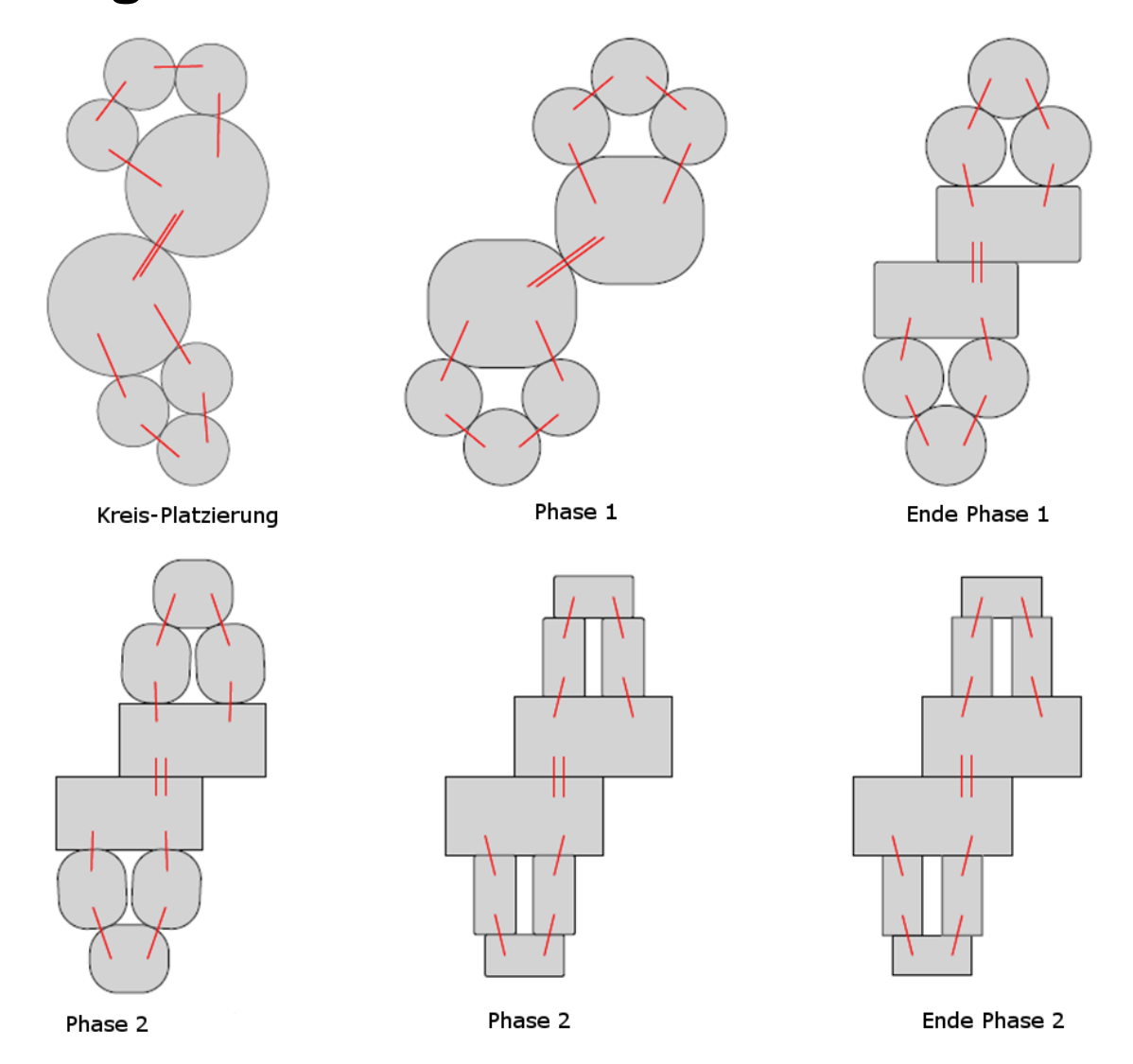
$$c + \exp(i\varphi)R \subset H_{\chi}(\theta, d)$$

$$\iff \forall \tilde{w} \in C(w): \underbrace{r + \chi(d - \langle c + \tilde{w} \exp(\imath \varphi), \exp(\imath \theta) \rangle_{\mathbb{R}})}_{h_{r,\tilde{w}}^{\chi}(c,\varphi,d,\theta)} \leq 0$$





# **Ablauf des Algorithmus**







### Rounded Rectangle Placement Problem RRPP

- lacksquare RRs mit Mittelpunkten  $\mathbf{c} \in \mathbb{C}^n$ und Winkeln  $arphi \in \mathbb{R}^n$
- Paare  $\mathcal{G}_0$  von Kreisen und  $\mathcal{G}_1 = \{(i,j) : 1 \leq i < j \leq n\} \setminus \mathcal{G}_0$
- Hyperebenen  $H(\theta_{ij}, d_{ij}), \ (i, j) \in \mathcal{G}_1$
- RRs  $\mathcal{C}^{\mathsf{fix}}$  mit fixer Rotation  $\varphi_i^{\mathsf{fix}}$  und RRs  $\mathcal{C}^{\mathsf{ort}}$

### Problem: Rounded Rectangle Placement Problem (RRPP):

$$\begin{aligned} & \underset{\mathbf{c}, \varphi, \theta, \mathbf{d}}{\min} & & wl(\mathbf{c}, \varphi) + \mu \sum_{i \in \mathcal{C}^{\mathsf{ort}}} \sin^2(2\varphi_i) \\ & \text{s.t.} & & (r_i + r_j)^2 - |c_i - c_j|^2 \leq 0 & \forall (i, j) \in \mathcal{G}_0 \\ & & & h_{r_i, \tilde{w}}^{\chi_{ij}}(c_i, \varphi_i, d_{ij}, \theta_{ij}) \leq 0 & \forall \tilde{w} \in C(w_i), & \forall (i, j) \in \mathcal{G}_1 \\ & & \varphi_i - \varphi_i^{\mathsf{fix}} = 0 & \forall i \in \mathcal{C}^{\mathsf{fix}} \end{aligned}$$

- MFCQ gilt (wie Kreis-Platzierungsproblem)
- LICQ gilt nicht (Kreis-Platzierungsproblem ist Teilproblem)





### **Rounded Rectangle Algorithmus**

- 1. Bauteilecluster  $C_t$ , t = 1, ..., N
- 2. Löse Kreis-Platzierungsproblem
- 3. Für Phasen  $t = 1, \ldots, N$ 
  - a. Für Sequenz  $(\lambda, \mu) = (0, 0) \to (1, \infty)$  löse RRPP mit  $\mathcal{C}^{\mathsf{fix}} = \mathcal{C}_{< t}, \ \mathcal{C}^{\mathsf{ort}} = \mathcal{C}_t$

$$R_i = egin{cases} R(0,|s_i|), & i \in \mathcal{C}_{>t} & ext{(Kreis)} \ R(\lambda s_i, (1-\lambda)|s_i|), & i \in \mathcal{C}_t & ext{(abgerundetes Rechteck)} \ R(s_i, 0), & i \in \mathcal{C}_{< t} & ext{(Rechteck)} \end{cases}$$

b. Fixiere Rotation der Bauteile in  $C_t$ 

### Es gilt:

- Jede Lösung ist zulässig für das nächste Problem
- Für  $\mu \to \infty$ : Orthogonale Rotation wird erreicht





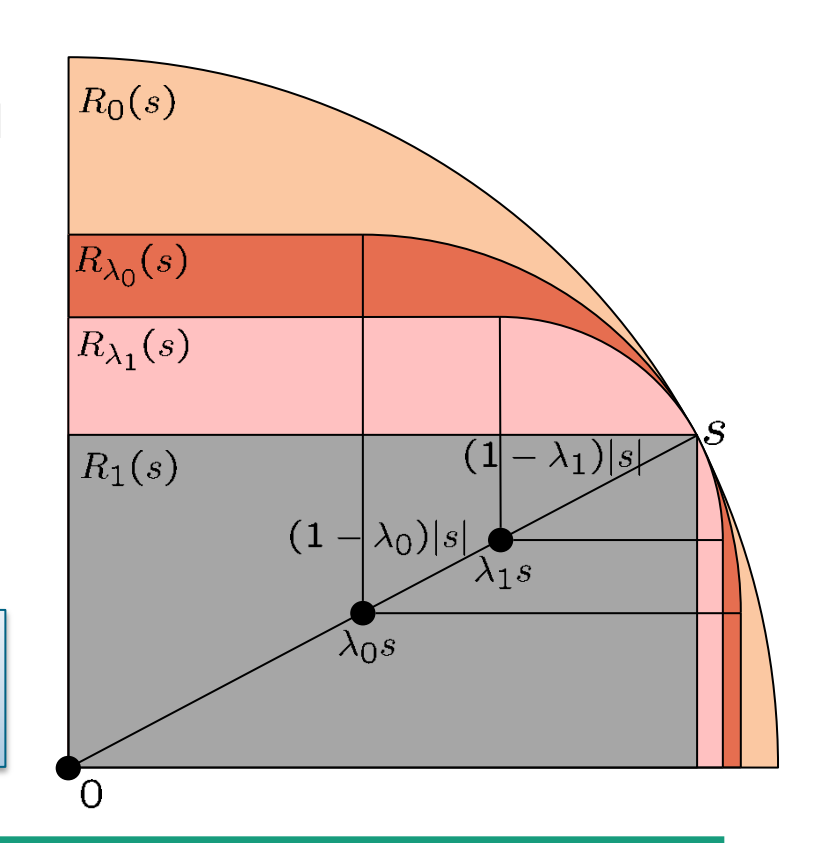
Satz: Jede Lösung ist zulässig für das nächste Problem.

#### Beweisidee:

- Bis auf Nichtüberlappung der RR in  $C_t$  trivial
- **Z**u zeigen: RR in  $C_t$  werden kleiner

Bauteile in  $C_t$  sind  $R_{\lambda}(s) = R(\lambda s, (1 - \lambda)|s|)$ 

**Lemma**: Für  $0 \le \lambda_0 \le \lambda_1 \le 1$  gilt  $R_0(s) \supseteq R_{\lambda_0}(s) \supseteq R_{\lambda_1}(s) \supseteq R_1(s)$ 







**Intuitive Aussage**: Für  $\mu \to \infty$ : Orthogonale Rotation wird erreicht

Notation:  $\mathbf{x} = (\mathbf{c}, \varphi, \mathbf{d}, \theta)$ 

$$P(\lambda,\mu) \text{ ist RRPP} \quad \min_{\mathbf{x}} \ wl(\mathbf{x}) + \mu \sum_{i \in \mathcal{C}^{ort}} \sin^2(2\varphi_i)$$
 s.t.  $\mathbf{x} \in X_{\lambda}$ 

P(1) ist RRPP mit  $\lambda = 1$  und orthogonaler Rotation als Constraint

$$Y := ([0, s] + i[0, s])^n \times [0, 2\pi]^n \times [0, \sqrt{2}s]^m \times [0, 2\pi]^m, \quad s = \sum_{i=1}^n |s_i|$$

■ Betrachte Problemfolge  $P(\lambda_k, \mu_k)$  mit  $(\lambda_k, \mu_k) = (0, 0) \to (1, \infty)$ 





**Satz**: Wenn  $\mathbf{x}_k$  globales Minimum von  $P(\lambda_k, \mu_k)$ , so konvergiert jede konvergente Teilfolge von  $\mathbf{x}_k$  gegen ein globales Minimum von  $P(\mathbf{1})$ . Eine solche Teilfolge existiert.

**Satz**: Sei  $\mathbf{x}_k \in Y$  lokales Minimum von  $P(\lambda_k, \mu_k)$  und  $\mathbf{x}^*$  Häufungspunkt von  $\mathbf{x}_k$ , dann gilt für alle  $i \in \mathcal{C}_t$ :  $\sin(2\varphi_i^*) = 0 \vee \cos(2\varphi_i^*) = 0$ .

#### Beweisidee:

- Wäre  $X_{\lambda} = \mathbb{R}^{N}$ : Standard Quadratic Penalty Methods
  - Nicht verschwindende Gradienten ⇒ Abstiegsrichtung existiert
- Konstruiere zulässige Abstiegsrichtung explizit





$$g(\mathbf{x}) := \sum_{i \in \mathcal{C}^{ort}} \sin^2(2\varphi_i), \qquad f(\mathbf{x}) := wl(\mathbf{x}) + \mu g(\mathbf{x})$$

**Lemma**: Für  $|\alpha| < \Im(s_i)/|s_i|$ :  $y_i(\mathbf{x}, \alpha) := (\mathbf{c}, \alpha \mathbf{e}_i, \mathbf{d}, 0)$  ist zulässige Richtung von  $\mathbf{x}$  ausgehend in  $X_{\lambda}$ .

Es gilt  $\|\mathbf{y}_i(\mathbf{x}, \alpha)^T \nabla w l(\mathbf{x})\| \leq K$ 

Zulässige Richtungen  $y_{ik+} := y_i(x_k, +\alpha), y_{ik-} := y_i(x_k, -\alpha)$  keine Abstiegsrichtung

$$0 \leq \mathbf{y}_{ik+}^{T} \nabla f(\mathbf{x}_{k}) \leq K + \mu_{k} \alpha \mathbf{e}_{i} \nabla_{\varphi} g(\mathbf{x})$$

$$0 \leq \mathbf{y}_{ik-}^{T} \nabla f(\mathbf{x}_{k}) \leq K - \mu_{k} \alpha \mathbf{e}_{i} \nabla_{\varphi} g(\mathbf{x})$$

$$\Rightarrow K \geq |\mu_{k} \alpha \mathbf{e}_{i} \nabla_{\varphi} g(\mathbf{x})| = 4\mu_{k} \alpha |\sin(2\varphi_{i}^{k}) \cos(2\varphi_{i}^{k})|$$

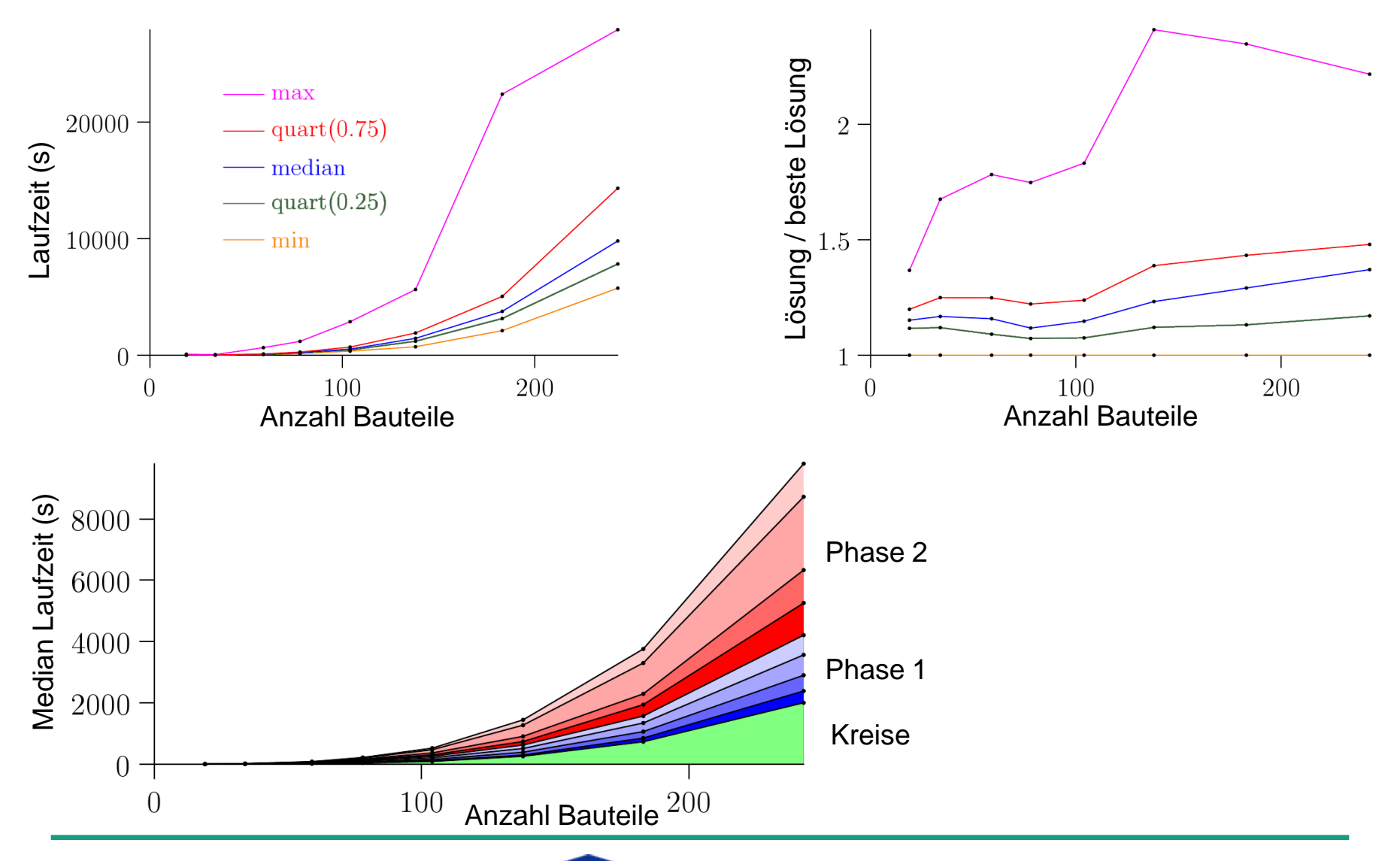
$$\Rightarrow \sin(2\varphi_{i}^{k}) \cos(2\varphi_{i}^{k}) \rightarrow 0$$

**Korollar**: Ist für fixes  $0 < |\alpha| < \min_i \Im(s_i)/|s_i|$ , fixes  $0 \le \delta \le \pi/4$   $\forall k \ \forall i \in \mathcal{C}_t : f(\mathbf{x}_k) \le f(\mathbf{x}_k + \delta \mathbf{y}_i(\mathbf{x}_k, \alpha))$  so ist jeder Häufungspunkt von  $\mathbf{x}_k$  zulässig für P(1).





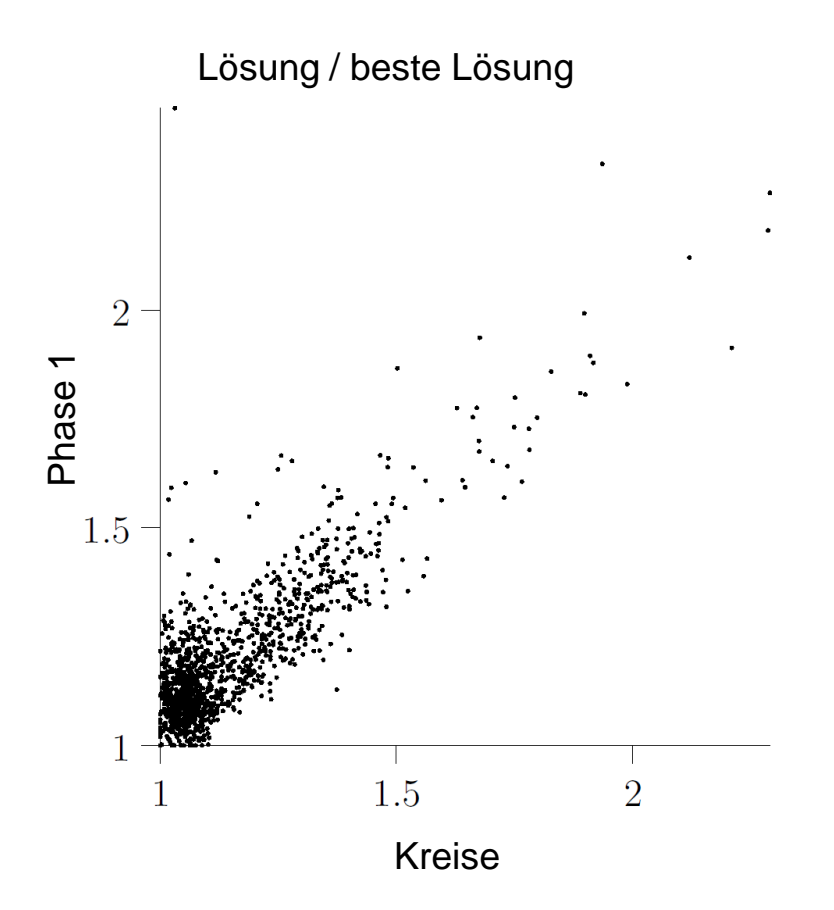
### Performance des Algorithmus

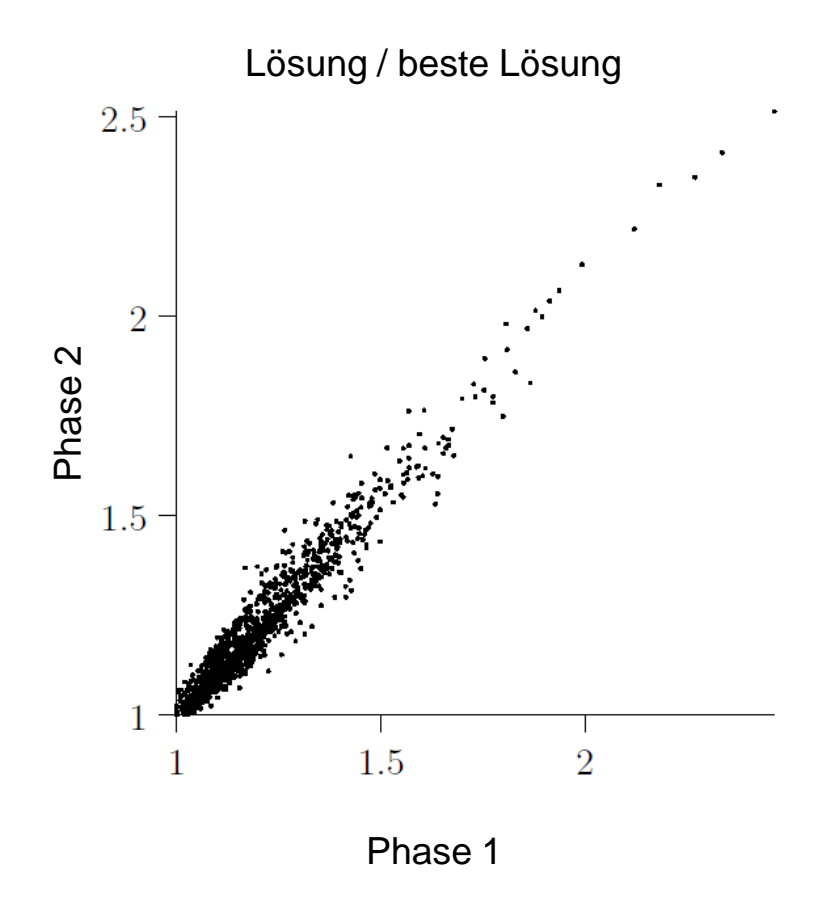






### Korrelation der Phasen

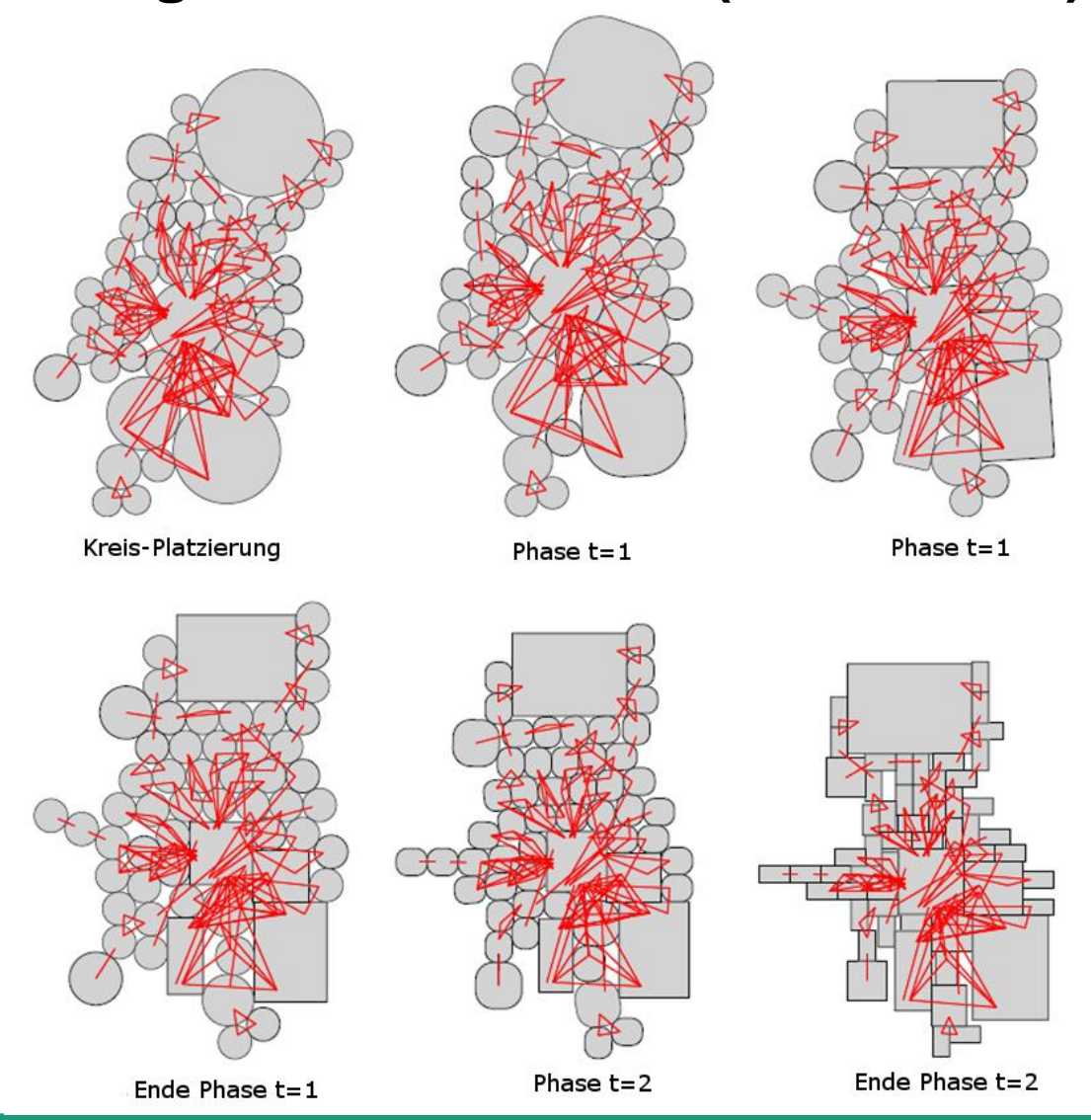








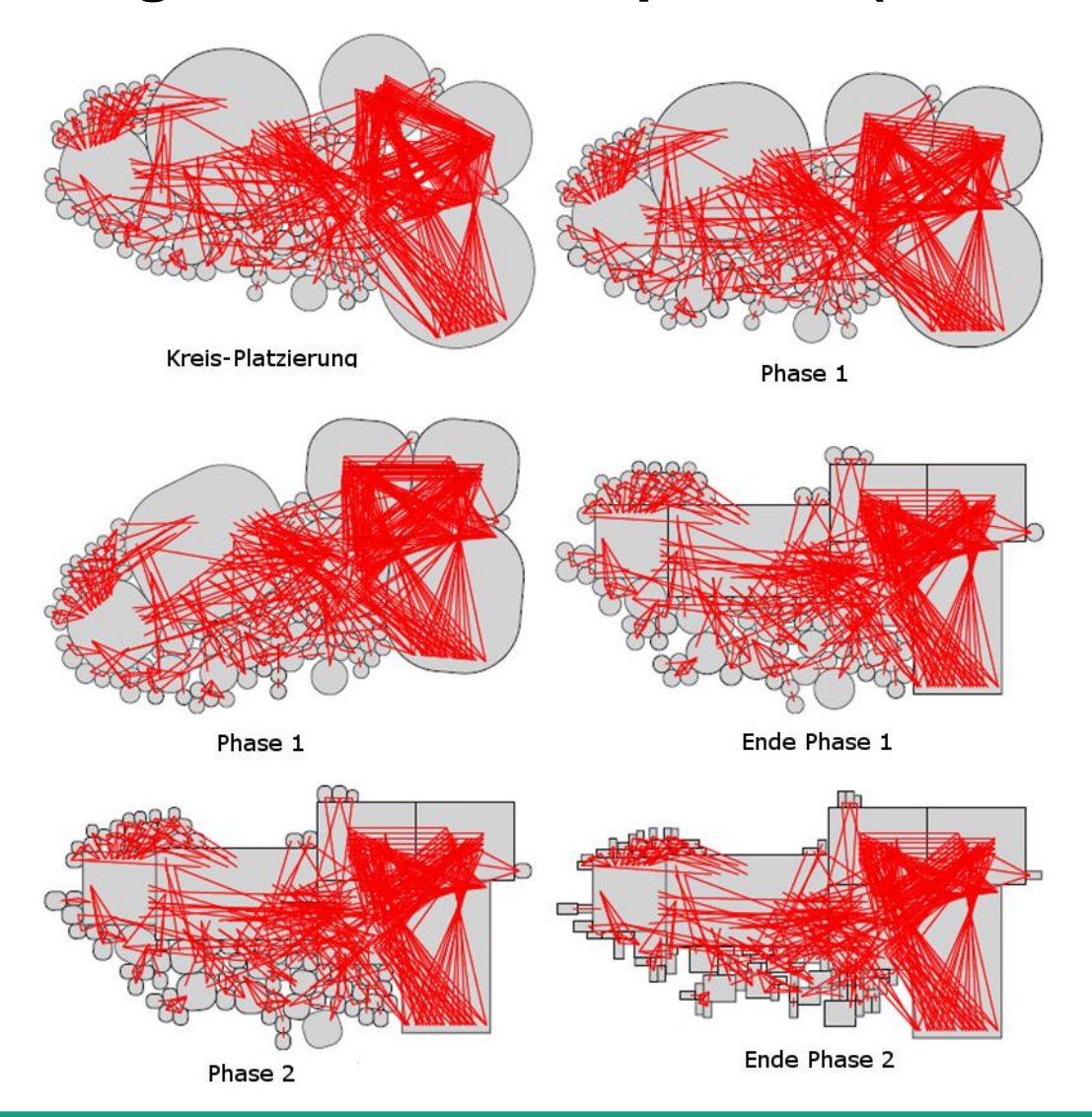
# Ablauf des Algorithmus: Mekas (57 Bauteile)







# Ablauf des Algorithmus: Versiplektor (93 Bauteile)







### Übersicht

- Motivation Optimierung von System-in-Package
- Algorithmische Idee der Rounded Rectangle Algorithmus
- Algorithmische Teilprobleme des Rounded Rectangle Algorithmus
  - Kreis-Rotationsproblem
  - Kreis-Platzierungsproblem
  - Rechteck-Platzierungsproblem
- Fazit in der Dissertation erreichte Ziele





### Fazit – in der Dissertation erreichte Ziele

- Kreis-Rotationsproblem
  - Branch and Bound Algorithmus für Hermitesches Minimierungsproblem
  - Performance-Steigerung durch Domainreduktion
- Kreis-Platzierungsproblem
  - MFCQ gilt, LICQ gilt nicht
  - Verbesserung des Attractor-Repeller Models
  - Nutzen der Globalisierungsstrategien empirisch belegt
- Rechteck-Platzierungsproblem
  - Rounded Rectangle Algorithmus

## Vielen Dank



